

تحلیل غیر خطی پوسته های بتن مسلح

ایرج محمودزاده کنی

استادیار گروه مهندسی عمران - دانشکده فنی - دانشگاد تهران

سهیل محمدی

کارشناس ارشد سازه دانشکده فنی - دانشگاد تهران

چکیده

این مقاله به بررسی نکات اساسی که در تهیه یک برنامه اجزاء محدود جهت تحلیل استاتیکی و دینامیکی غیر خطی پوسته های بتن مسلح بکار رفته اند، اختصاص دارد. به این منظور، ضمن بررسی اجمالی مدل اجزاء محدود، بطور مبسوط مدل غیرخطی مادی بتن و فولاد و تاثیر متقابل آنها بر یکدیگر مورد بررسی قرار میگیرد. همچنین الگوریتم های برنامه های تحلیل استاتیکی و دینامیکی ارائه شده اند. جوابهای تحلیل و نتایج آزمایشگاهی برای یک مسئله دال مورد مقایسه قرار گرفته اند. کاربرد عملی برنامه در تحلیل دینامیکی غیرخطی پوسته محافظ یک نیروگاه هسته ای تشریع شده است.

۱ - مقدمه

المان بکاررفته در مدل سازی اجزاء محدود پوسته، المان پوسته تبدیل یافته می باشد که از تبدیل المان سه بعدی بدست آمده است. این المان در هر گره دارای ۲ درجه آزادی انتقالی و ۲ درجه آزادی چرخشی خط «عمود» در گره است. تعریف مستقل درجات آزادی مربوط به تعییر مکان و چرخش باعث میگردد که تغییر شکل بر شیعی عمود بر پوسته نیز در محاسبات وارد شود.

۲-۱ مدل لایه ای

تعیین ماتریس های خصوصیات سازه به حصول انتگرال هایی منجر می شود که عملاً فقط با استفاده از روش های عددی قادر به محاسبه آنها می باشیم. روش عمومی در تئوری اجزاء محدود، استفاده از روش انگرال گیری گوس (Gaussian Quadrature) می باشد. برای المان پوسته موردنظر، سه نقطه گوس در هر جهت، در صفحه پوسته کافی خواهد بود ولی در جهت ضخامت پوسته، بعلت رفتار غیر خطی،

با توجه به گسترش روزافزون کاربرد سازه های بتن مسلح و لزوم استفاده از این نوع سازه ها در پژوهه های حیاتی نظری سدها، نیروگاهها و تاسیسات حساس نظامی، بررسی رفتار واقعی این سازه ها، خصوصاً پوسته های بتن مسلح، هدف بخش عملهای از تلاشها و تحقیقات پژوهشگران در سالهای اخیر بوده است.

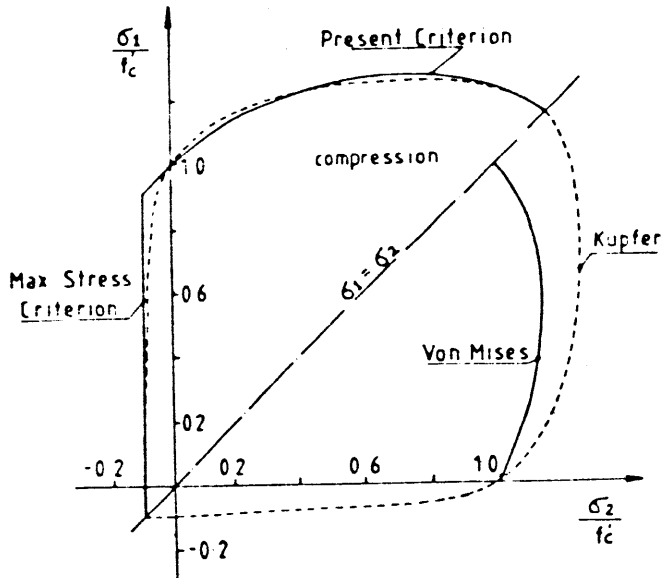
این مقاله به اجمالی، به بررسی مدل های تحلیلی بکاررفته در نرم افزار تحلیل غیرخطی پوسته های بتن مسلح اختصاص دارد. این نرم افزار مشتمل بر دو برنامه تحلیل استاتیکی و دینامیکی می باشد و بطور وسیع در تحلیل غیرخطی تیرهای خمشی و صفحات و پوسته های بتن مسلح با الگوهای مختلف فولادگذاری، قابل کاربرد است.

۲ - مدل اجزاء محدود

۱-۱ المان پوسته تبدیل یافته

$$\beta = 1.355 \quad ; \quad \alpha = 0.355\sigma_{\parallel} \quad (2)$$

شکل (۲)، مقایسه مدل انتخابی را با نتایج آزمایشی Kupfer [۲] در وضعیت دو محوری نشان می‌دهد.



شکل ۲: مقایسه مدل انتخابی و نتایج آزمایش Kupfer

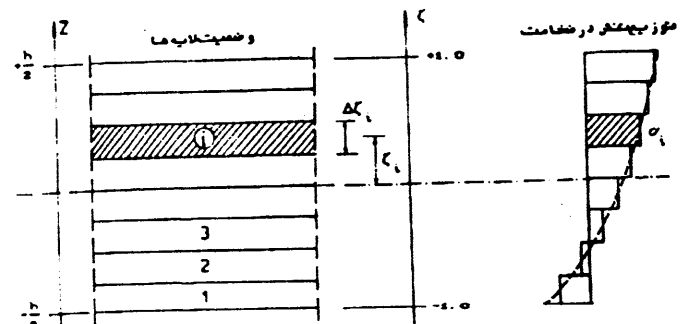
در یک مدل الاستیک پلاستیک کامل، σ_{\parallel} به عنوان تنش نهایی، در نظر گرفته می‌شود. پس از این مرحله، یک بازتاب پلاستیک کامل تا رسیدن به سطح خردشگی دنبال می‌شود. در مدل سخت شدگی، سطح تسلیم اولیه، در وضعیتی قرار دارد که تنش مؤثر به 20° درصد، 1° می‌رسد. سطوح تسلیم بعدی، توابعی بر حسب پارامتر سخت شدگی خواهند بود. در این حالت نیز وقتیکه تنش مؤثر به تنش، 1° بررسد، بازتاب پلاستیک کامل تا رسیدن به سطح خردشگی ادامه می‌یابد. شکل (۳)، نمایش‌های یک بعدی این مدلها را نشان می‌دهد.

قاعده جریان

برای بیان روابط تنش - کرنش در محدوده پلاستیک، شرط تعادم بردار میزان تغییر شکل پلاستیک بر سطح تسلیم در نظر گرفته می‌شود:

$$d\varepsilon_{ij}^p = dJ_i \frac{\partial f(\sigma)}{\partial \sigma_{ij}} \quad (3)$$

تعداد لازم این نقاط دقیقاً مشخص نیست [۱]. به این منظور، از یک روش ساده و مناسب استفاده می‌کنیم که مدل لایه‌ای نامیده می‌شود و در واقع یک روش انتکرال کیری ذوزنقه‌ای می‌باشد. در این مدل فرض می‌شود که پوسته در جهت ضخامت از چند لایه تشکیل شده است. نقاط گوس هر لایه در میان سطح آن واقع هستند و مؤلفه‌های تنش نیز در این نقاط محاسبه می‌شوند و فرض می‌شود که در ضخامت هر لایه ثابت باشند. این مدل در شکل (۱) دیده می‌شود.



شکل ۱: مدل لایه‌ای.

۳- مدل غیرخطی

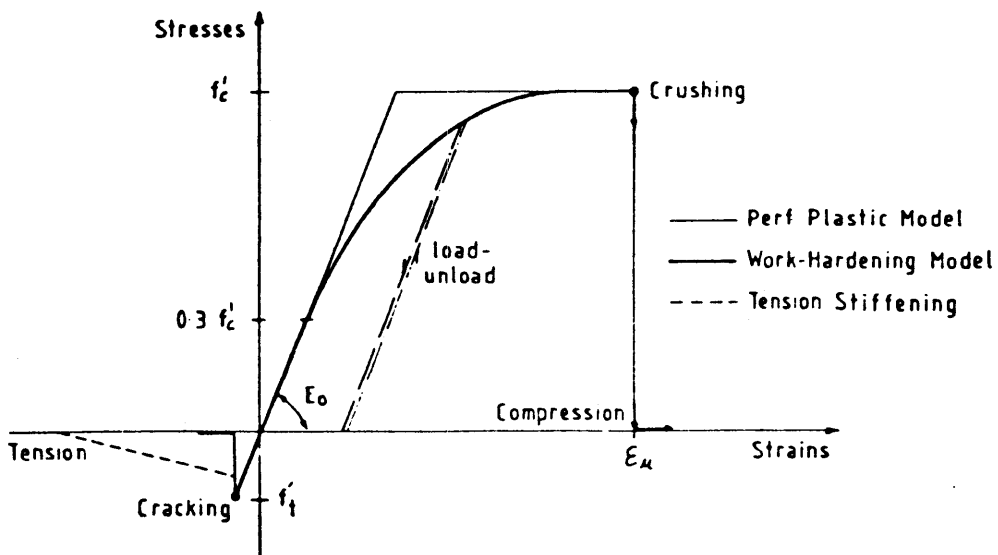
۱- رفتار فشاری بتزن

معیار تسلیم

معیار تسلیم بتزن، تحت یک وضعیت سه‌محوری تنش، معمولاً بر مبنای سه ثابت تنش بیان می‌شود اما تحقیقات نشان داده اند که در یک تحلیل عملی، استفاده از یک معیار تسلیم بر مبنای دو ثابت تنش I_1 و I_2 کافی خواهد بود. چنین معیاری بصورت زیر انتخاب می‌شود [۲]:

$$F(I_1, I_2) = [\beta(3I_2 + \alpha I_1)]^{1/2} - \sigma_{\parallel} = 0 \quad (1)$$

که در آن β و α ضرایب ماده و σ_{\parallel} تنش مؤثر معادل است که از آزمایش فشاری تک محوری بدست می‌آید. و داریم:



شکل ۳: نمایش مدل بنیادی بتن.

$$\sigma = -E_0 \epsilon_p + \sqrt{2E_0^2 \epsilon_0 \epsilon_p} ; 0.3f'_c < \sigma < f'_c \quad (5)$$

با استفاده از مقدار فعلی کرنش پلاستیک مؤثر در رابطه (۵)، میزان تنش مؤثر که مبین سطح تسلیم کنونی است، بدست می آید.

شرایط خردشگی

رفتار خردشگی شکست بتن، با کنترل معیار کرنش مورد بررسی قرار می گیرد. با استفاده از یک معیار کرنشی که تبدیل یافته معیار تسلیم (۱) بر حسب کرنشها می باشد، داریم:

$$F(I_1', I_2') = [\beta(3I_2') + \alpha I_1']^{1/2} - \epsilon_u = 0 \quad (6)$$

که در آن I_1' و I_2' ثابت های تانسور کرنش می باشند و ϵ_u کرنش فشاری نهایی می باشد.

۲-۳ رفتار کششی بتن
رفتار بتن، تحت تنشهای کششی، تا رسیدن به حد شکست، بصورت الاستیک خطی در نظر گرفته می شود. شکست کششی یا ترک خوردنگی، بوسیله یک معیار تنش کششی ماقزیم تعیین می شود.

$$d\epsilon_{ij}^p = d\lambda \frac{\partial f(\sigma)}{\partial \sigma_{ij}} \quad (3)$$

کرادیان $\frac{\partial f(\sigma)}{\partial \sigma}$ مبین امتداد عمود بر سطح تسلیم و ضریب $d\lambda$ مبین اندازه افزایش کرنش پلاستیک است. باداشتن تابع جریان f ، مولفه های بردار جریان بصورت عبارتهای صریح قابل بیان هستند.

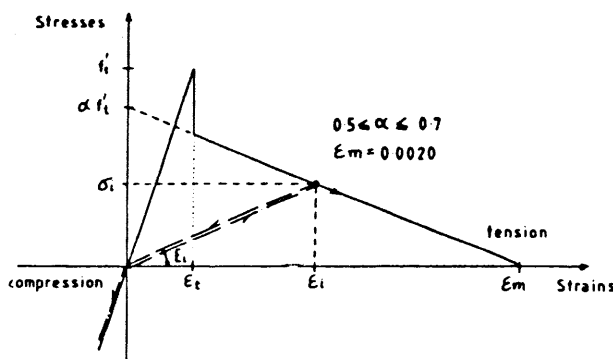
قاعده سخت شدگی
قاعده سخت شدگی، حرکت سطح تسلیم بعدی را در طی تغییر شکل پلاستیک تعریف می کند. این قاعده، رابطه بین سطوح تسلیم f و کرنش پلاستیک مؤثر را تعیین می کند. با استفاده از روابط تنش - کرنش تک محوری داریم:

$$\sigma = E_0 \epsilon - \frac{1}{2} \frac{E_0}{\epsilon_0} \epsilon^2 \quad (4)$$

که در آن E_0 مدول الاستیسته اولیه، ϵ کرنش کل و ϵ_0 کرنش کل به ازاء تنش حداقل f_c است. کرنش کل ϵ از دو قسمت کرنش الاستیک ϵ_e و کرنش پلاستیک ϵ_p تشکیل شده است. با جایگذاری کرنش کل در رابطه (۴) در نهایت به رابطه (۵) می رسیم:

$$\sigma_1 = \sigma_i \frac{\epsilon_1}{\epsilon_i} \quad \epsilon_1 < \epsilon_i \quad (9)$$

در روابط فوق ϵ_1 ، کرنش کششی موجود در ماده در امتداد ۱ می باشد. روابط مشابهی برای امتداد دیگر قابل بیان است [۲].



شکل ۴: رفتار بتون ترک خورده و مدل سخت شدگی کششی.

پدیده انتقال برش

نتایج تجربی نشان می دهند که مقدار قابل ملاحظه ای از تنش برشی می تواند از طریق سطوح زیر ترک خورده منتقل شود. یک روش ساده برای احتساب اثرات قفل شدگی دانه ها در یک مدل ترک خورده کسترد، استفاده از یک مقدار مناسب برای مدول برشی ترک خورده است. براساس نتایج تجربی، روابط زیر بدست آمده اند [۲] :

برای بتون ترک خورده در امتداد ۱ :

$$G_{12}^c = 0.25G (1 - \epsilon_1/0.004)$$

$$G_{12}^c = 0. \text{ if } \epsilon_1 \geq 0.004$$

$$G_{13}^c = G_{12}^c \quad (10)$$

$$G_{23}^c = \frac{5}{6} G$$

برای بتون ترک خورده در هر دو امتداد ۱ و ۲ :

$$G_{13}^c = 0.25G (1 - \epsilon_1/0.004)$$

$$G_{13}^c = 0. \text{ if } \epsilon_1 \geq 0.004$$

$$G_{23}^c = 0.25G (1 - \epsilon_2/0.004)$$

$$G_{23}^c = 0. \text{ if } \epsilon_2 \geq 0.004$$

$$G_{12}^c = 0.5G_{13}^c \quad (11)$$

$$G_{12}^c = 0.5G_{23}^c \text{ if } G_{23}^c < G_{13}^c$$

ترکها در صفحاتی عمود بر امتداد تنش کششی اصلی ماکریزم، وقتی که این تنش به مقاومت کششی بتون، ϵ'_m ، بر سرده تشكیل می گردند.

ترک خورده کی بتون بصورت کسترد در یک قسمت از المان در نظر گرفته می شود. همچنین فرض می شود ترکها فقط در صفحاتی عمود بر صفحه سازه ایجاد شوند.

سخت شدگی کششی

به علت وجود اثرات اتصالی، بتون ترک خورده در حدفاصل بین ترکها، یک مقدار نیروی کششی قائم بر صفحه ترک را تحمل می نماید. این بتون به میلگرد های مسلح کننده می چسبید و در سختی کل سازه مشارکت خواهد داشت.

برای مدل سازی پدیده فوق از یک روش رهاسازی تدریجی مولفه قائم تنش بتون در صفحه ترک خورده استفاده می شود، همانگونه که در شکل (۴) نشان داده شده است. در این روش، باربرداری و بارگذاری مجدد بتون ترک خورده، بصورت رفتار خطی با یک مدول الاستیسیتیٰ فرضی E_i مدل می شود:

$$E_i = \alpha f'_i (1 - \frac{\epsilon_i}{\epsilon_m}) \quad (7)$$

$$\epsilon_i \leq \epsilon_m$$

که در آن α و ϵ_m پارامترهای سخت شدگی کششی هستند، ϵ مقدار حد اکثر کرنش کششی است که تا کنون نقطهٔ موردنظر به آن رسیده است و ϵ کرنش کششی متناظر با تنش کششی f' است. اگر ترک بسته شود یا بعبارت دیگر، مؤلفه قائم کرنش بر صفحه ترک منفی شود، بتون در همان امتداد رفتار ترک خورده را بدست می آورد.

مقدار ϵ را می توان برای مشابه سازی از بین رفتن اتصال در طی بارگذاری مجدد اصلاح نمود. تنش قائم σ ، از رابطه زیر تعیین می شود:

$$\sigma_1 = \alpha f'_i (1 - \frac{\epsilon_1}{\epsilon_m}) \quad \epsilon_i < \epsilon_1 < \epsilon_m \quad (8)$$

می باشد.
با استفاده از تقریب تفاوت های مرکزی برای $[d]_n$ و $[d]_{n+1}$ و با فرض قطری بودن ماتریس های جرم و میرایی، حل معادله فوق بصورت صریح به شکل زیر تبدیل می شود [۳] :

$$(d_i)_{n+1} = (m_{ii} + \frac{\Delta t}{2} c_{ii})^{-1} \times \{(\Delta t)^2 \times (- (P_i)_n + (f_i)_n) + 2m_{ii} (d_i)_n - (m_{ii} - \frac{\Delta t}{2} c_{ii})(d_i)_{n-1}\} \quad (13)$$

در رابطه اخیر، حرکت سیستم در زمان t_{n+1} بصورت صریح برحسب مقادیر مربوط به زمان های قبل محاسبه می شود.

گام زمانی بحرانی برای حصول به جوابهای پایدار و دقیق، گام زمانی Δt در روش انتگرال گیری زمانی صریح کوتاه می باشد، که این خود باعث بالا رفتن هزینه محاسبات می گردد. گام زمانی بحرانی در روش انتگرال گیری صریح برابر است با [۵] :

$$\Delta t \leq \frac{2}{\Omega_{\max}} \quad (23)$$

که در آن Ω_{\max} ، بزرگترین فرکانس دورانی شبکه اجزاء محدود است. در صورتیکه Ω_{\max} نشانگر حداقل فرکانس زاویه ای غیرخطی باشد، از این رابطه برای مسائل غیر خطی نیز می توان استفاده کرد.

۵- برنامه های کامپیوتری تحلیل

۵- ۱ برنامه تحلیل استاتیکی

با توجه به مشخصات کلی ارائه شده در بخش های قبل، نرم افزار تحلیل استاتیکی غیرخطی پوسته های بتن مسلح، NSARCS، تهیه شده است. الگوریتم کلی عملکرد برنامه مطابق شکل (۵) می باشد.

در روابط اخیر، G مدول برشی بتن ترک نخورده و E_1 و E_2 بترتیب کرنشهای کششی در دو امتداد ۱ و ۲ می باشند.

۳-۳ رفتار فولاد
میلگرد های مسلح کننده، بصورت لایه های فولادی با ضخامت معادل مدل می شوند. هر لایه فولادی یک رفتار تک محوری دارد و فقط نیروی محوری در امتداد میلگرد را میتواند تحمل کند. رفتار فولاد در کشش و فشار بصورت یکسان در نظر گرفته می شود.

۴- روش های حل معادلات تعادل

۴- ۱ تحلیل استاتیکی

به منظور حل معادلات تعادل استاتیکی، از یک روش افزایشی استفاده می شود. در این روش مسیر بارگذاری به چندین بخش تقسیم می گردد. برای هر افزایش بار با استفاده از یک سری عملیات تکرار، سیستم معادلات غیرخطی تعادل ارضا می شود. در هر تکرار از یک افزایش بار به یک سیستم معادلات تعادل افزایشی می رسیم که بوسیله روش فرانتال (Frontal) حل می گردد. در این روش، عملیات مونتاژ ماتریس سختی و حل دستگاه معادلات بصورت همزمان انجام می شود و در نتیجه احتیاجی به ذخیره ماتریس سختی کل سازه نمی باشد [۱].

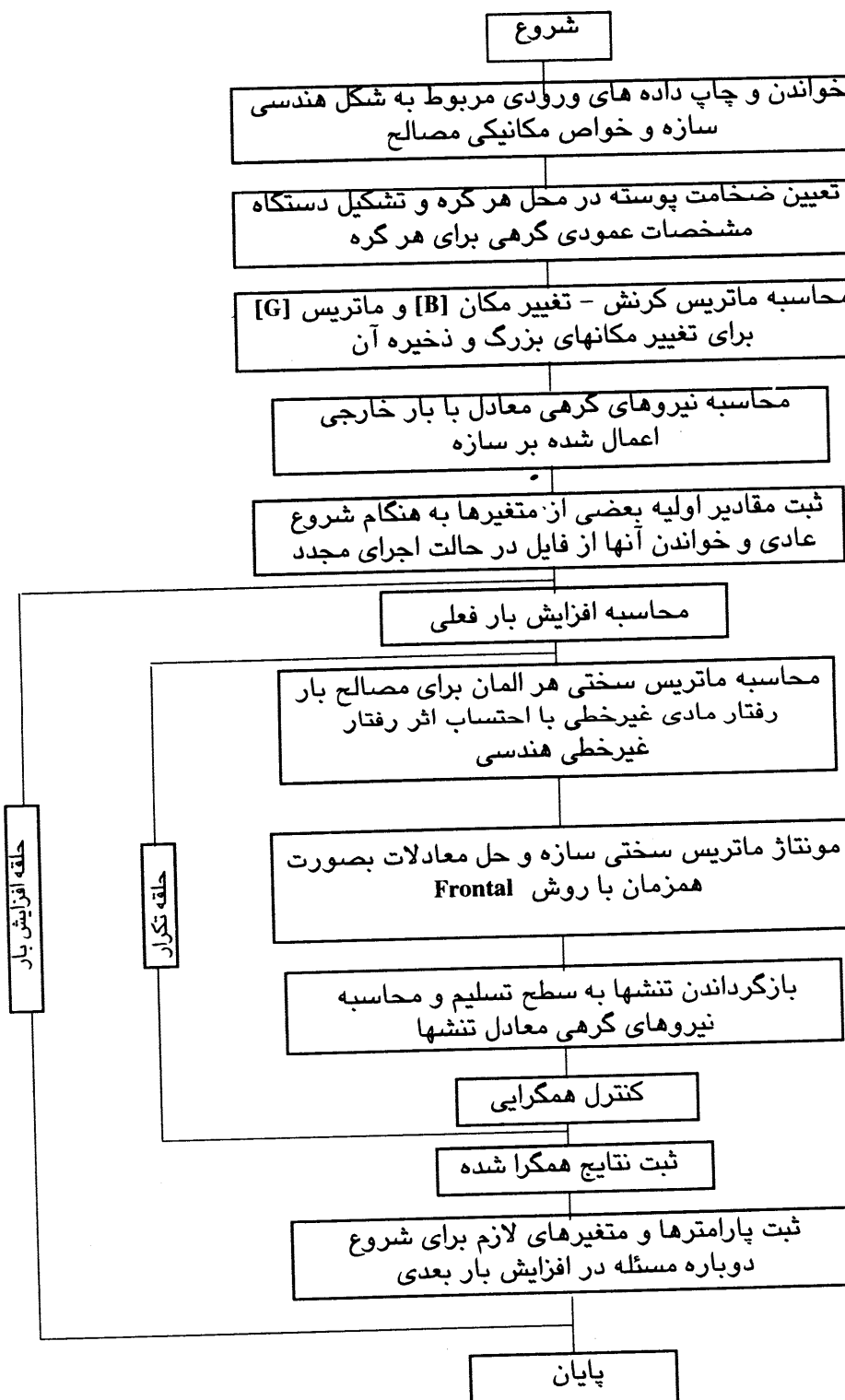
۴- ۲ تحلیل دینامیکی

روش انتگرال گیری زمانی صریح

معادله تعادل سیستم در زمان t_n را به شریح زیر در نظر می کیریم [۴] :

$$[M][d]_n + [C][d]_n + [P]_n = [f]_n \quad (12)$$

که در آن $[P]$ بردار نیروهای مقاوم داخلی و $[f]$ بردار نیروهای کره ای معادل با بارهای خارجی



شکل ۵: الگوریتم روش افزایشی تحلیل استاتیکی غیرخطی
بوسته های بتن مسلح بکاررفته در برنامه NSARCS

شده است مثالهای زیادی توسط این برنامه بررسی شده اند [۵]، که از میان آنها به مسئله زیر می پردازیم:
پوسته محافظ (Concrete Containment) راکتور هسته‌ای تحت ضربه اصابت هواییما

در شکل (۶)، وضعیت هندسی و شبکه اجزاء محدود و نیز منحنی بارگذاری یک پوسته بتن مسلح استوانه‌ای - کروی محافظ یک ساختمان راکتور دیده می شود. این سازه تحت بارگذاری اصابت هواییما تحلیل شده است، که یکی از حالات بارگذاری، جهت کنترل طراحی این نوع سازه‌ها می باشد. نتایج تاریخچه تغییر مکان نقطه اثر بار و لنگرهای خمشی در نقاط مختلف پوسته و مقایسه آنها با نتایج تحلیل خطی در شکلهای ۱۰ الی ۱۱ ارائه شده اند.

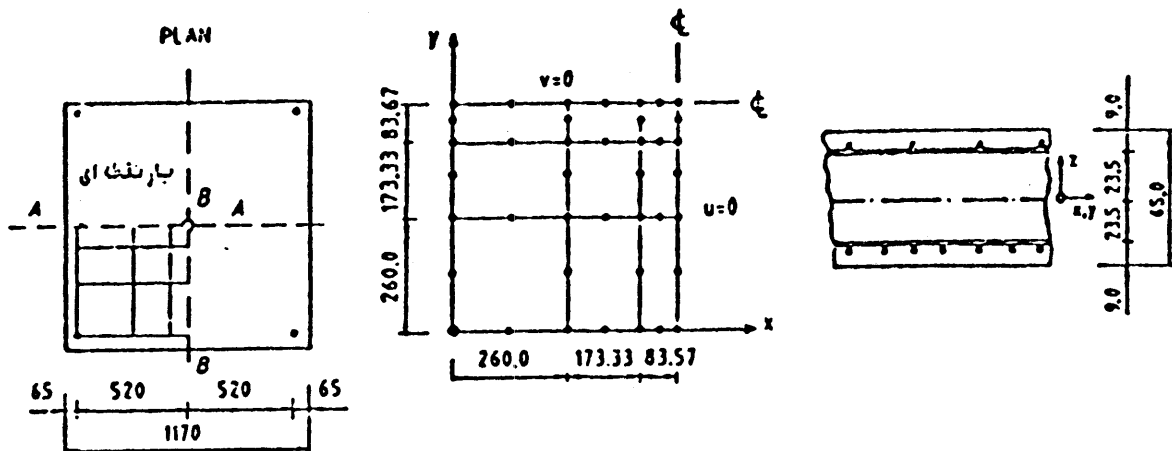
جهت کنترل برنامه و نیز احراز صحت مدل مادی انتخابی، چندین مسئله که نتایج آزمایشگاهی آنها موجود بوده اند، مورد بررسی قرار گرفته اند که به یک نمونه از آنها اشاره می گردد [۵].

Dudeck

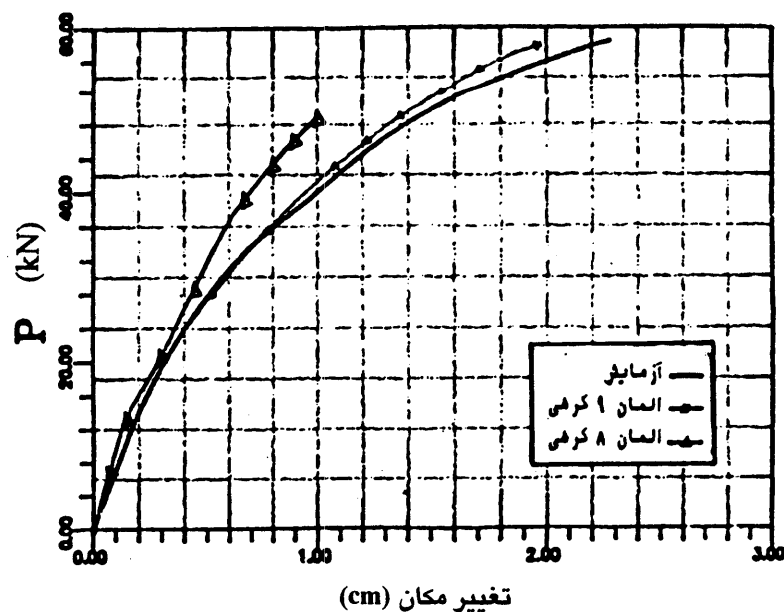
مدل هندسی و شبکه اجزاء محدود این دال در شکل (۶) نشان داده شده اند. مقایسه نتایج آزمایشگاهی و تحلیل های مختلف در شکل (۷) نشان داده شده است.

۲- برنامه تحلیل دینامیکی

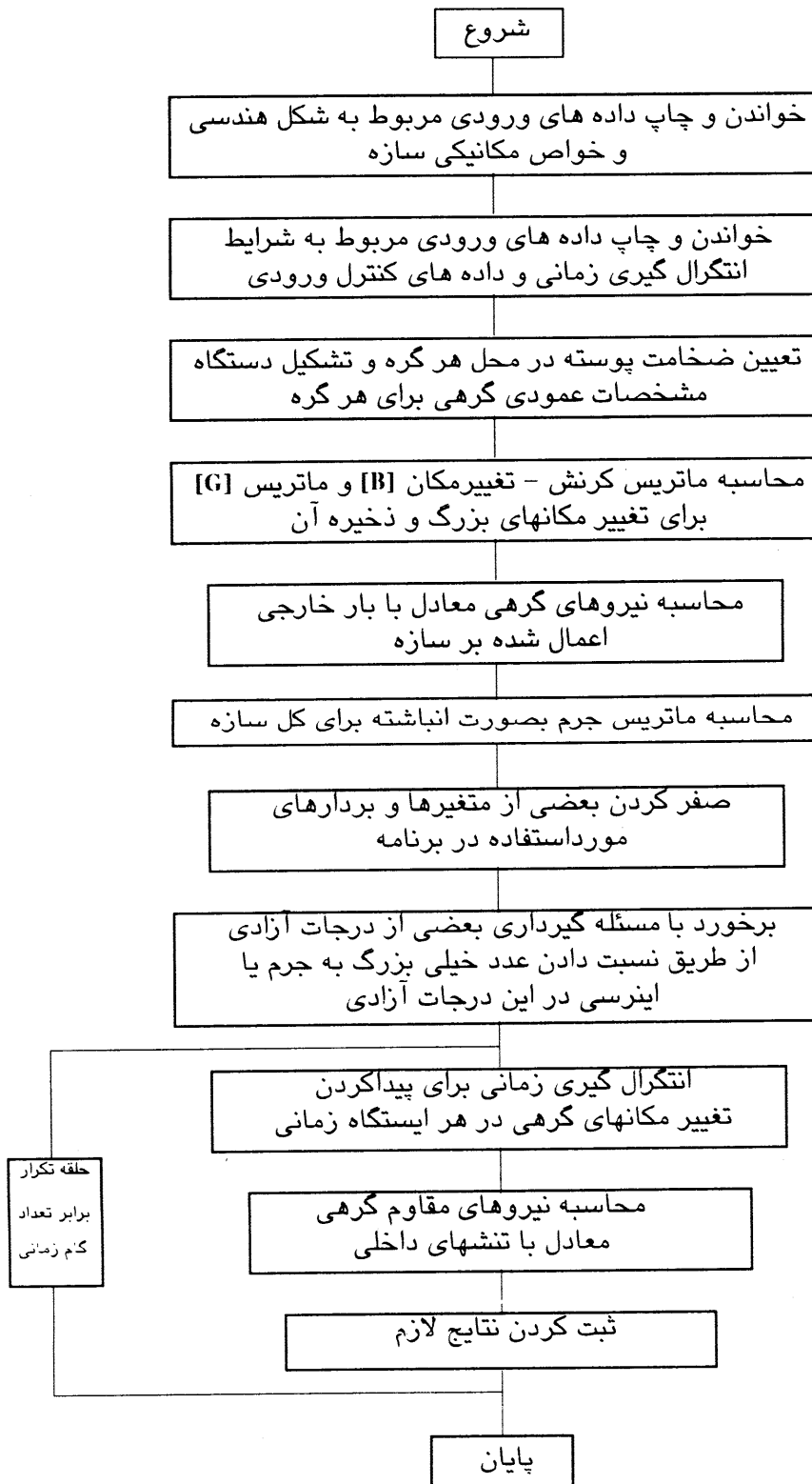
الگوریتم کلی برنامه تحلیل دینامیکی غیرخطی پوسته های بتن مسلح، NDARCS، در شکل (۸) ارائه



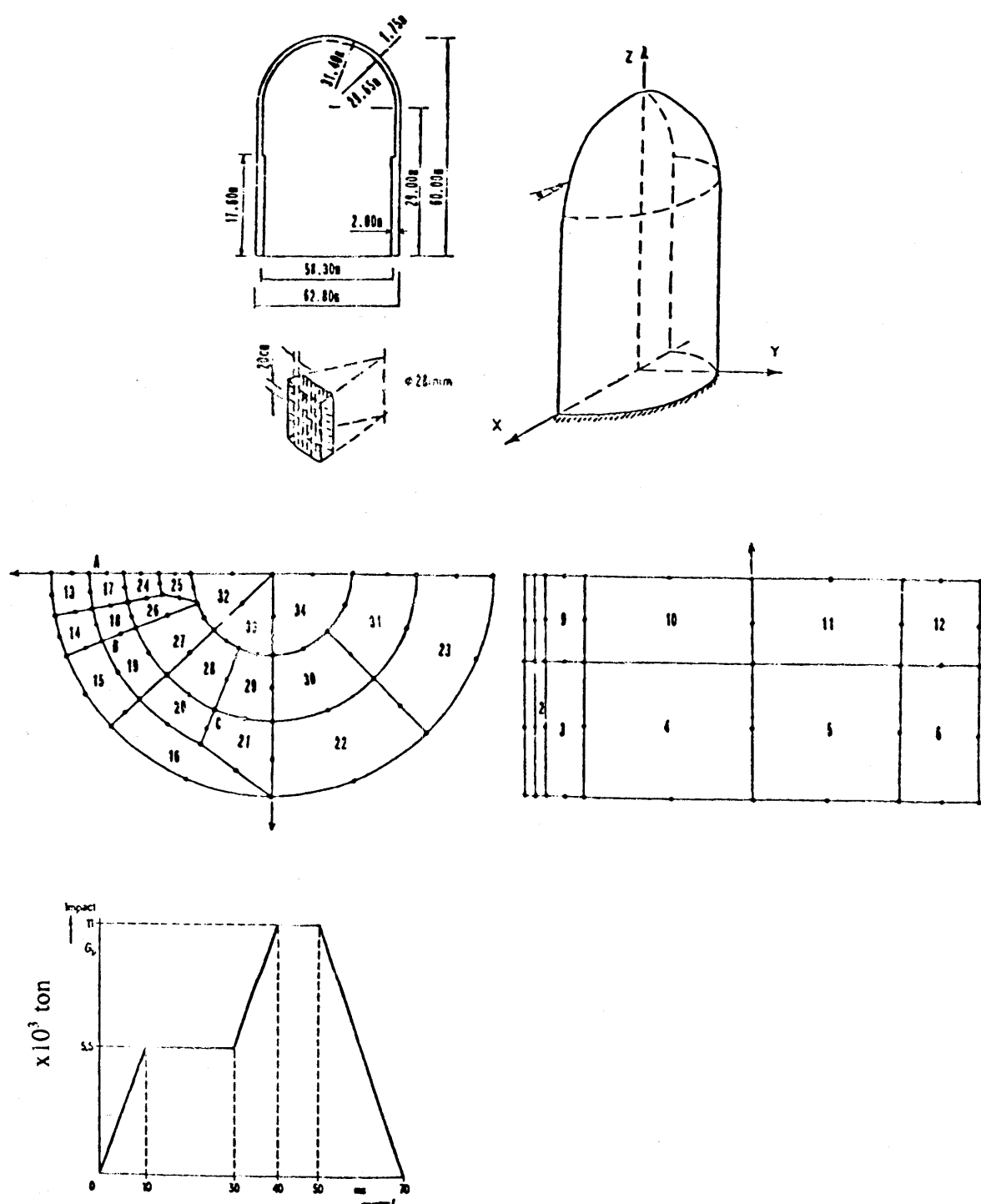
شکل ۶: مدل هندسی و شبکه اجزاء محدود دال



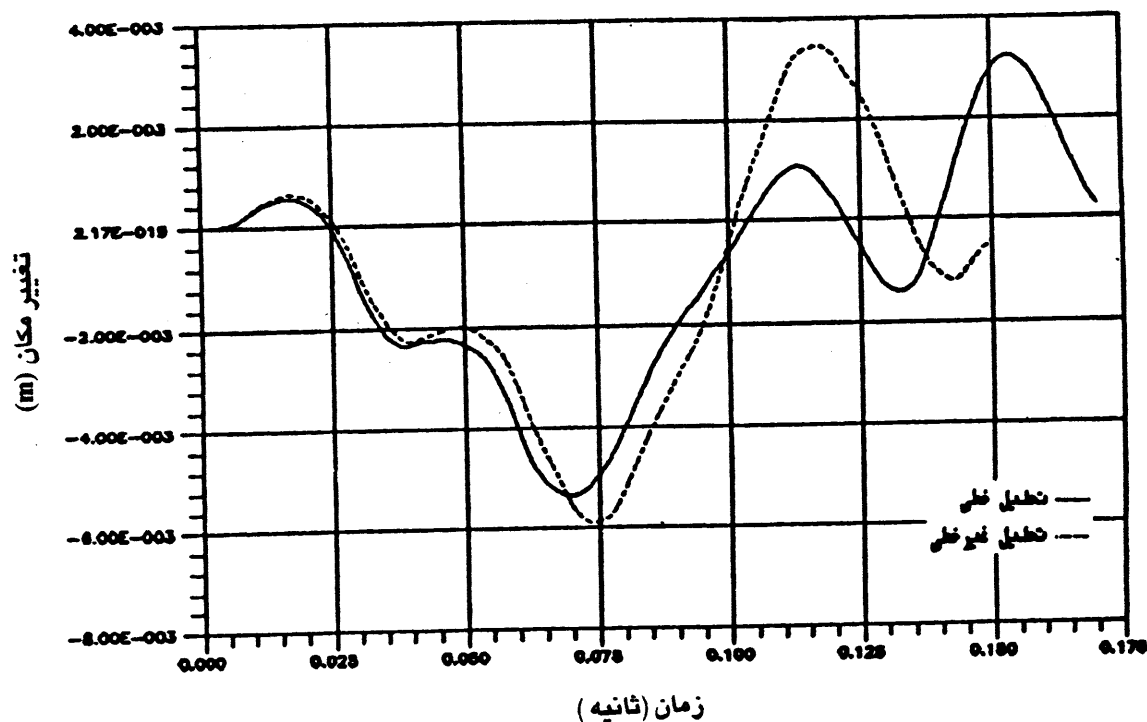
شکل ۷: مقایسه نتایج آزمایشگاهی و تحلیل های مختلف.



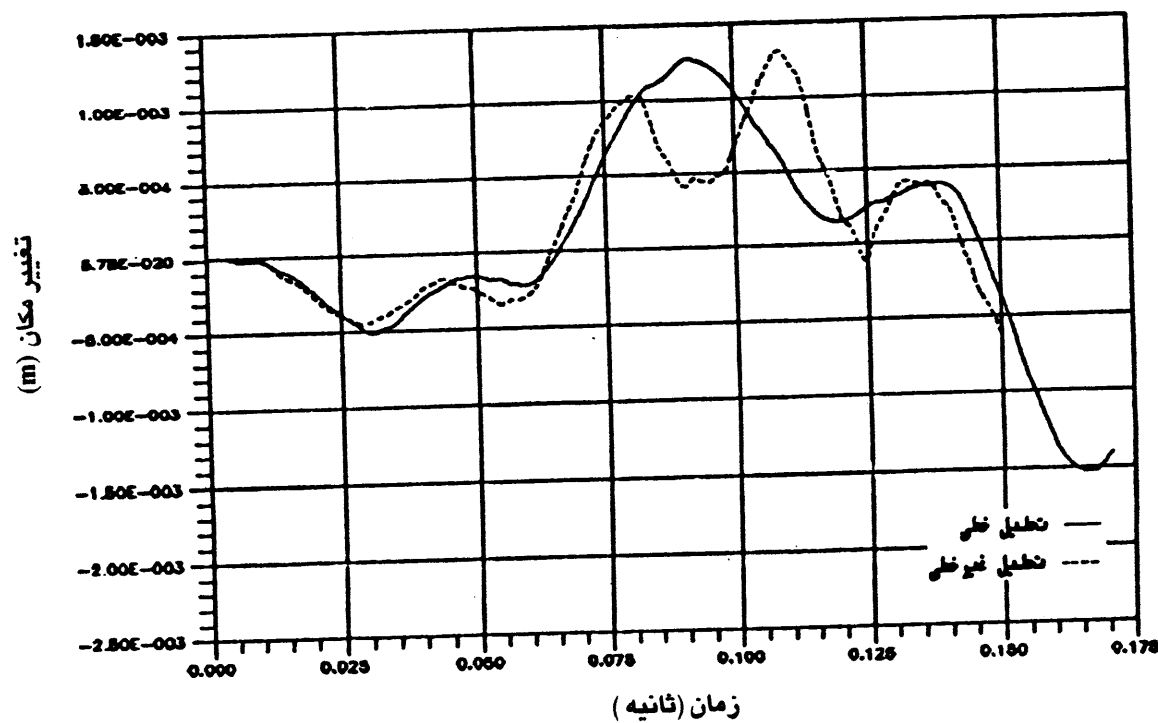
شکل ۸: الگوریتم روش صریح تحلیل دینامیکی در برنامه NDARCS.



شکل ۹: پوسته محافظ راکتور هسته ای تحت ضربه ای اصابت هواییما.

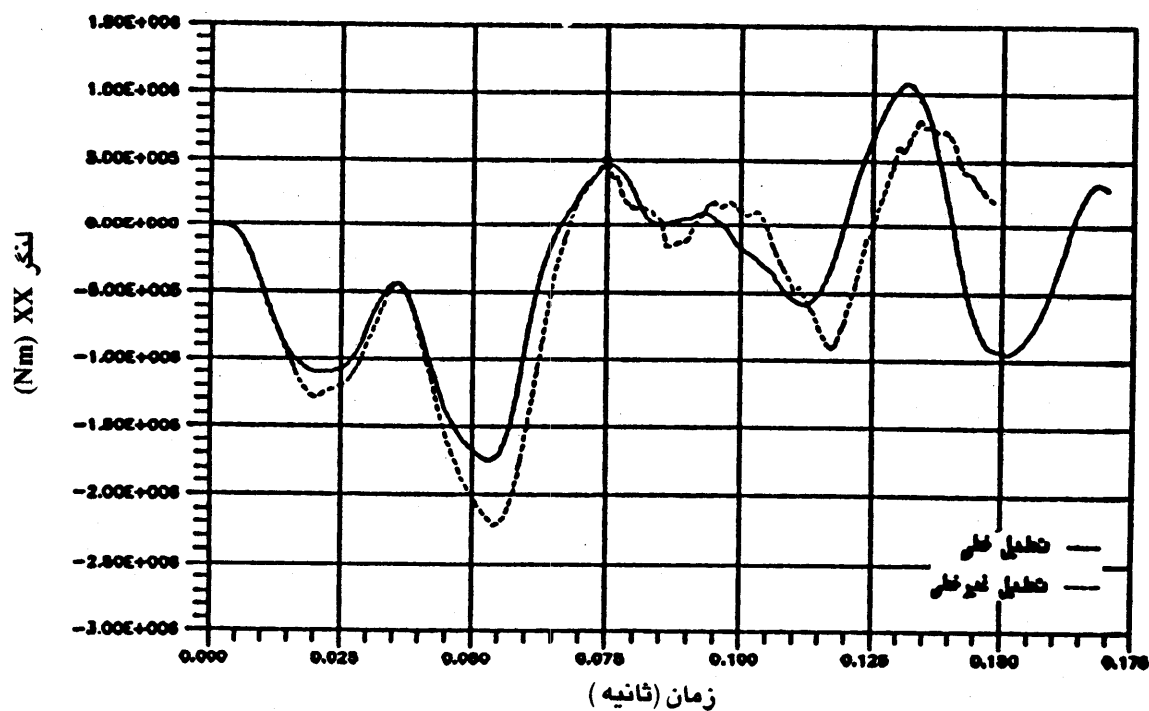
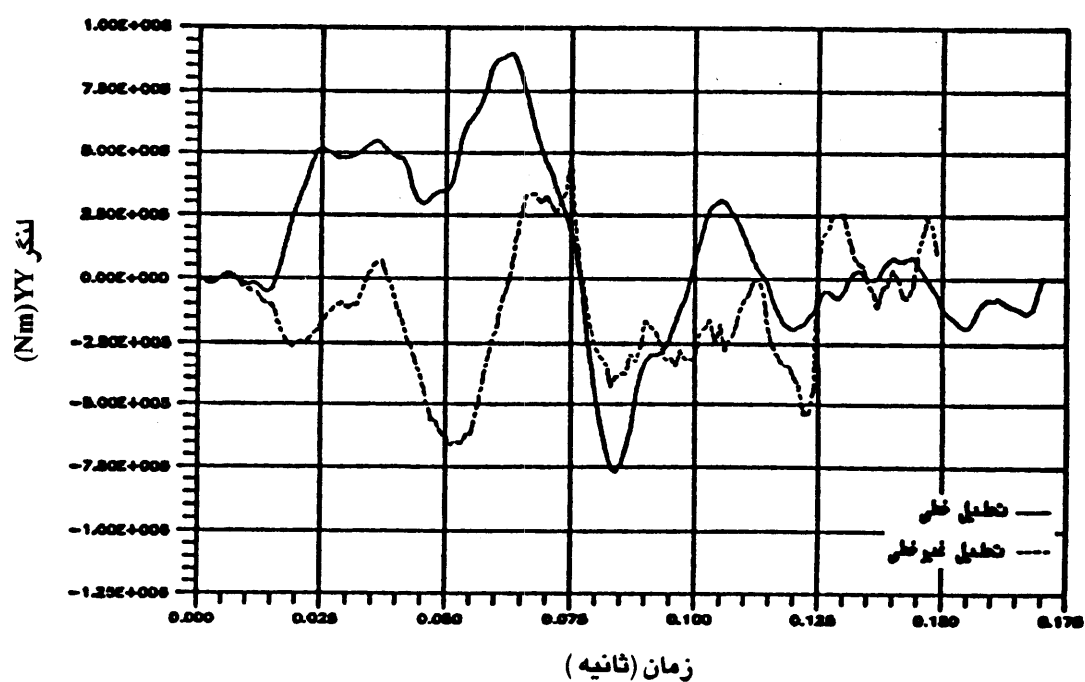


بازتاب تغییر مکان نقطه اثر بار در جهت X



بازتاب تغییر مکان نقطه اثر بار در جهت Z

شکل ۱۰: تاریخچه تغییر مکان نقطه اثر بار (نقطه A).

بازتاب لتکر خمثی XX بازتاب لتکر خمثی YY

شکل ۱۱: تاریخچه لتکر خمثی در نقطعه ۸

۶- نتیجه گیری

- ۴- انواع بارگذاری شتاب ثقل ، بار گستردۀ غیر یکنواخت و فشار هیدروستاتیک
- ۵- پذیرش تاریخچه بار و شتاب تحریک تکیه‌گاه
- ۶- کنترل کامل بر خروجی جهت ثبت تاریخچه بازتاب تغییر مکان یا تنفس

مقایسه نتایج تحلیل، با اطلاعات موجود آزمایشگاهی، تطابق مناسبی را نشان می‌دهد که نمایانگر صحت عملکرد برنامه در حالت‌های مختلف می‌باشد. باید توجه داشت که یک تحلیل دینامیکی غیرخطی کامل، وقت گیر و پر هزینه می‌باشد و تنها در آخرین مرحله محاسبات و جهت کنترل نهایی سازه طراحی شده، قابل توجیه می‌باشد.

در این مقاله، به اختصار، اصول بکار گرفته شده در تهیه یک برنامه کاربردی تحلیل غیرخطی پوسته‌های بتن مسلح تشریح شده‌اند. نتیجه این مطالعات تهیه یک برنامه کاربردی با مشخصات زیر می‌باشد:

- ۱- تحلیل صفحات و پوسته‌های با شکل هندسی دلخواه و ضخامت متغیر
- ۲- امکان مدل سازی الکوهای متنوع فولادگذاری با استفاده از یک مدل لایه‌ای
- ۳- تحلیل پوسته‌های بتن مسلح با تغییر شکل‌های بزرگ

۷- مراجع

1. Owen, D. R. J., and Hinton E.(1980). *Finite Elements in Plasticity*. Pineridge Press, Swansea, U.K.
- 2 . Hinton, E., and Owen D. R. J.(1984). *Finite Element Software for Plates and Shells*. Pineridge Press, U.K.
3. Chen, W. F.(1987) *Plasticity in Reinforced Concrete*. McGraw-Hill.
- 4 . Weaver, W. Jr., Johnston P. R.(1987). *Structural Dynamics by Finite Elements*. Prentice-Hall, New Jersey.
- 5 - محمدی، (سهیل)، "تحلیل غیرخطی پوسته‌های بتن مسلح". پایان نامه کارشناسی ارشد سازه، دانشکده فنی، دانشگاه تهران، (۱۳۷۱)